



An Adaptive Secure and Practical Data Sharing System with Verifiable Outsourced Decryption

一种自适应安全和实用的可验证外包解密数据共享系统

作者：Shengmin Xu and Xingshuo Han

期刊：IEEE Transactions on Services Computing

汇报人：王璇

指导老师：李琦

目录

CONTENTS

01

研究背景

Research Background

02

研究内容

Research Content

03

实验分析

Experimental analysis

04

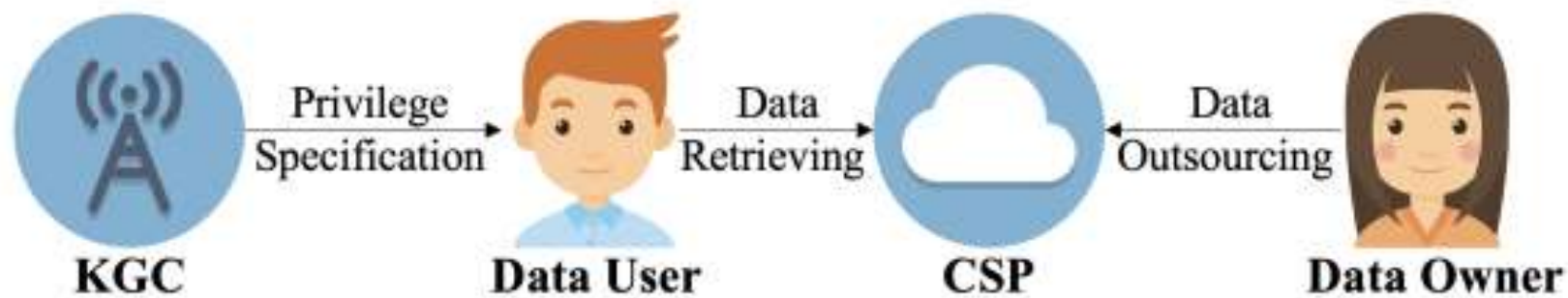
总结

Summary



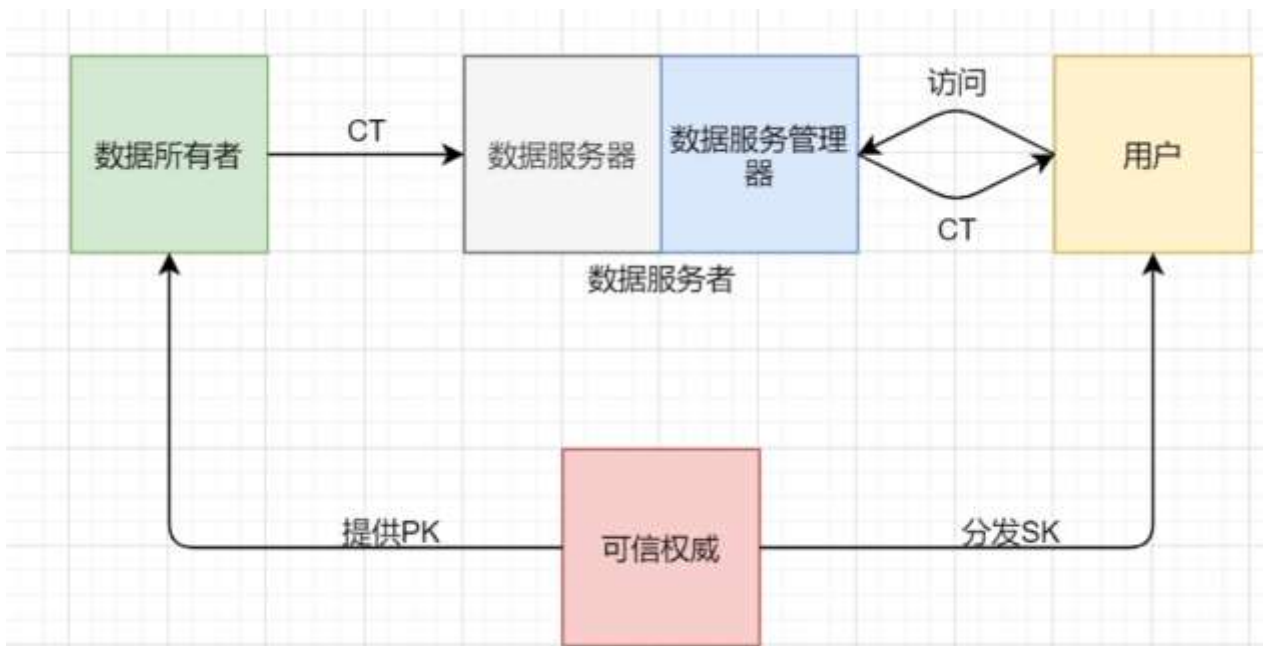
01

研 究 背 景



Cloud-Based Data Sharing Model





- 密钥生成中心(权威Authority)
- 加密者(数据所有者DataOwner, DO)
- 解密者(用户User)
- 数据存储服务器

密钥生成中心负责产生公共参数PK和主密钥MK。当有用户User发出请求时，为其分配属性，生成与权限索引相关的解密密钥SK。数据所有者DO根据密文索引A和自己要共享的数据Data的安全需要生成密文C，然后发送给数据存储服务器。User想获取某个被共享的数据时，向服务器发起请求，服务器为用户发送请求访问的密文数据C。当用户User满足A的要求时，可以利用Authority分配的解密密钥SK和收到的密文C，得到授权并获得Data。



ABE的优缺点

优势

- 支持细粒度访问控制
- 保护数据隐私

劣势

- 高计算和存储成本（与资源受限的设备不兼容）
- 安全性和可信任问题



优势

现有解决方案（经过改进的ABE）的优缺点

- 实现无安全通道的密钥发布
- 无需昂贵的数据解密
- 实现可验证外包解密

劣势

- 仅提供选择性安全性
- CSP可能不诚实地处理外包数据解密
- 底层ABE必须是ElGamal类型的ABE



“Can we design a practical VO-ABE with adaptive security under the **standard assumption** to realize a **practical** and **secure** data-sharing system?”

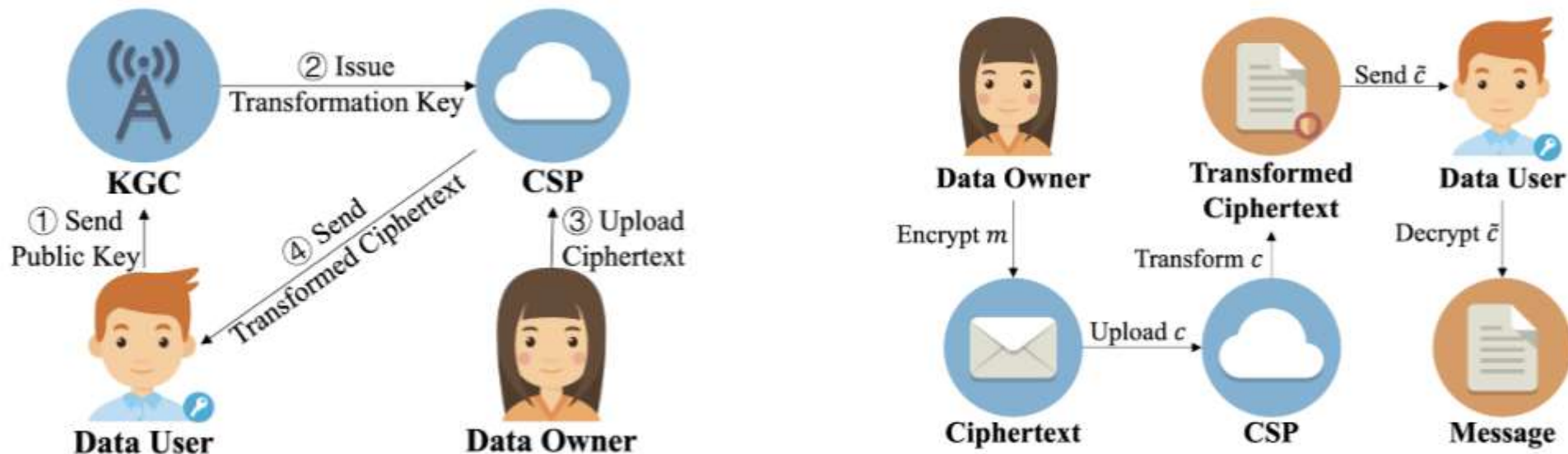
本文介绍了第一个自适应安全的标准假设下的实用的VO-ABE。与之前的相比，我们的解决方案继承了所有的实际属性（例如，细粒度的访问控制、可扩展的密钥发布、可验证的外包解密）并且享有更高级别的安全性。



02

研 究 内 容

系统概览



- KGC负责初始化系统并为每个数据用户发布转换密钥。
- 数据所有者是希望通过CSP与指定的数据用户共享敏感数据的客户端。
- 数据用户是生成密钥对并享受可验证外包数据共享的客户端，其中数据用户可以通过资源受限的终端设备接收共享的数据。
- 作为远程服务器的CSP占用大量存储空间，并提供按需数据服务。



四个标识符空间

标识符空间I

属性域U

消息空间M

标签空间T

六个算法

$$ABE_{VO}.Setup(1^\lambda) \rightarrow (pp, mpk, msk)$$
$$ABE_{VO}.KeyGen(id) \rightarrow (pk_{id}, sk_{id})$$
$$ABE_{VO}.TKGen(msk, pk_{id}, S) \rightarrow tk_{id}$$
$$ABE_{VO}.Enc(\mathbb{A}, m) \rightarrow (c, vk)$$
$$ABE_{VO}.Transform(tk_{id}, c) \rightarrow \tilde{c}_{id}/\perp$$
$$ABE_{VO}.Dec(sk_{id}, \tilde{c}_{id}, vk) \rightarrow m/\perp$$

系统概览

- 无需任何安全通道的可扩展密钥发布协议

在传统模型中,由KGC生成data user的(sk, pk),但是在作者的算法中 sk 由数据用户生成,用户将 pk 传递给KGC。KGC通过公共通道返回基于属性的转换密钥。没有秘密密钥,相应的基于属性的转换密钥是无用的。



系统概览

• 生成公私钥对的算法

$ABE_{VO}.KeyGen(id) \rightarrow (pk_{id}, sk_{id})$: On input an identifier $id \in \mathcal{I}$, and output a public key pk_{id} and a secret key sk_{id} . In our system, each data user runs the key generation algorithm to generate (pk_{id}, sk_{id}) , where pk_{id} is outsourced to the CSP and sk_{id} is kept in secret.

• 生成转换密钥pk的算法

$ABE_{VO}.TKGen(msk, pk_{id}, S) \rightarrow tk_{id}$: On input a master secret key msk , a public key pk_{id} and a set of attributes $S \subseteq \mathbb{U}$, and output a transformation key tk_{id} . In our system, the KGC runs the transformation key generation algorithm to derive tk_{id} , where tk_{id} is outsourced to the CSP.

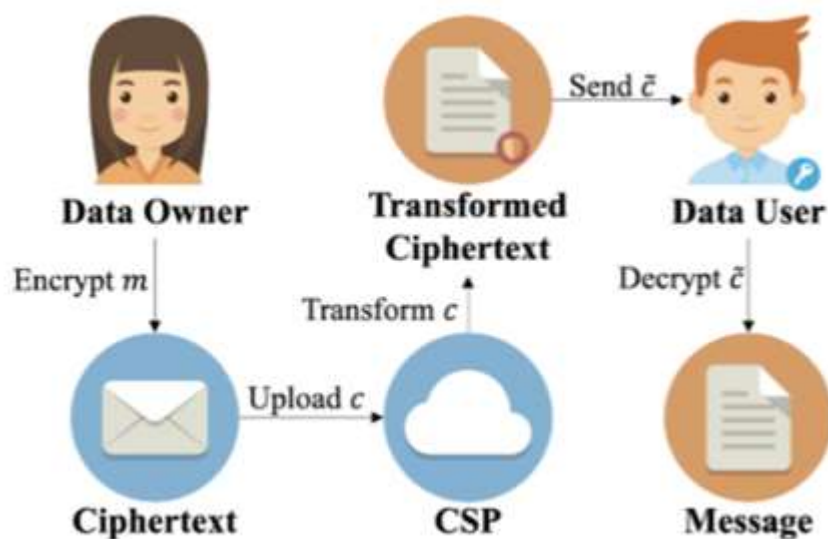
$ABE_{VO}.KeyGen(id) \rightarrow (pk_{id}, sk_{id})$: Pick $\alpha \in \mathbb{Z}_p^*$. Return $sk_{id} = \alpha$ and $pk_{id} = g^\alpha$.

$ABE_{VO}.TKGen(msk, pk_{id}, S) \rightarrow tk_{id}$: Parse $msk = (a_1, a_2, b_1, b_2, g^{d_1}, g^{d_2}, g^{d_3}, d_3)$.

- Pick $r_1, r_2, \{\sigma_y\}_{y \in S}, \sigma' \in \mathbb{Z}_p$. Set $tk_0 = (h^{b_1 r_1}, h^{b_2 r_2}, h^{r_1 + r_2})$.
- Compute $tk_{y,t} = \mathcal{H}(y1t)^{\frac{b_1 r_1}{a_t}} \cdot \mathcal{H}(y2t)^{\frac{b_2 r_2}{a_t}} \cdot \mathcal{H}(y3t)^{\frac{r_1 + r_2}{a_t}} \cdot g^{\frac{\sigma_y}{a_t}}$ for all $y \in S$ and $t = 1, 2$. Set $tk_y = (tk_{y,1}, tk_{y,2}, g^{-\sigma_y})$.
- Compute $tk'_t = g^{d_t} \cdot \mathcal{H}(011t)^{\frac{b_1 r_1}{a_t}} \cdot \mathcal{H}(012t)^{\frac{b_2 r_2}{a_t}} \cdot \mathcal{H}(013t)^{\frac{r_1 + r_2}{a_t}} \cdot g^{\frac{\sigma'}{a_t}}$ for $t = 1, 2$. Set $tk' = (tk'_1, tk'_2, pk_{id}^{d_3} \cdot pk_{id}^{-\sigma'})$.
- Return $tk_{id} = (tk_0, \{tk_y\}_{y \in S}, tk')$.

系统概览

- 一个可验证的外包解密机制，用于资源受限的终端设备对抗恶意云服务提供商
- 外包：数据所有者通过指定访问策略对消息 m 进行封装，并将封装后的消息 c 外包给CSP。CSP使用 tk 生成转换后的密文 c' 以替代访问策略对数据用户的秘密密钥的限制。最后，数据用户使用 sk 来解密 c' 以揭示消息。因此，昂贵的工作负载(如匹配属性和访问策略)分配给了CSP，数据用户从中受益，享受轻量级数据解密。





系统概览

- 一个可验证的外包解密机制，用于资源受限的终端设备对抗恶意云服务提供商
可验证：我们利用了私有可验证性的概念，其中验证密钥（ vk ）拥有者，即其转换密钥在密文转换期间被处理的数据用户，可以验证转换后的密文的格式。

$ABE_{VO}.Enc(\mathbb{A}, m) \rightarrow (c, vk)$: On input an access policy $\mathbb{A} \in 2^{\mathcal{U}}$ and a message $m \in \mathcal{M}$, and output a ciphertext c and a verification key $vk \in \mathcal{T}$. In our system, the data owner runs the encryption algorithm to derive (c, vk) , where c and vk are outsourced to the CSP.

$ABE_{VO}.Dec(sk_{id}, \tilde{c}_{id}, vk) \rightarrow m/\perp$: On input a secret key sk_{id} , a transformed ciphertext \tilde{c}_{id} and a verification key $vk \in \mathcal{T}$, and output a message $m \in \mathcal{M}$ if \tilde{c}_{id} is well-formed; otherwise output a failure symbol \perp . In our system, the data user runs the decryption algorithm to reveal m .

系统概览

$ABE_{VO}.Enc(\mathbb{A}, m) \rightarrow (c, vk)$: Parse $\mathbb{A} = (\mathbb{M}, \pi)$, where \mathbb{M} has n_1 rows and n_2 columns, and $\pi : [n_1] \rightarrow \mathbb{G}$ is a mapping function.

- Pick $k \in \mathbb{G}_T$, $s_1, s_2 \in \mathbb{Z}_p^*$. Set $c_0 = (H_1^{s_1}, H_2^{s_2}, h^{s_1+s_2})$.
- Compute $c_{i,\ell} = \mathcal{H}(\pi(i)\ell 1)^{s_1} \cdot \mathcal{H}(\pi(i)\ell 2)^{s_2} \cdot \prod_{j=1}^{n_2} [\mathcal{H}(0j\ell 1)^{s_1} \cdot \mathcal{H}(0j\ell 2)^{s_2}]^{\mathbb{M}_{i,j}}$ for $i = 1, \dots, n_1$ and $\ell = 1, 2, 3$, where $\mathbb{M}_{i,j}$ denotes the (i, j) th element of \mathbb{M} . Set $c_i = (c_{i,1}, c_{i,2}, c_{i,3})$.
- Compute $c' = k \cdot T_1^{s_1} \cdot T_2^{s_2}$ and $\tilde{k} = \tilde{\mathcal{H}}(k)$. Run $SE.Enc(\tilde{k}, m)$ to generate c_{SE} .
- Return $c = (c_{SE}, c_0, c_1, \dots, c_{n_1}, c')$, $vk = \tilde{\mathcal{H}}(\tilde{\mathcal{H}}(k), c_{SE})$.

$ABE_{VO}.Dec(sk_{id}, \tilde{c}_{id}, vk) \rightarrow m/\perp$: Parse $sk_{id} = \alpha$.

- Compute $k = \tilde{c}_1 / \tilde{c}_2^{\frac{1}{\alpha}}$. Return \perp if $vk \neq \tilde{\mathcal{H}}(\tilde{\mathcal{H}}(k), c_{SE})$.
- Compute $\tilde{\mathcal{H}}(k) = \tilde{k}$. Return $m \leftarrow SE.Dec(\tilde{k}, c_{SE})$.

可验证外包解密可以实现自适应安全性，即使攻击者可以在加密和解密过程中进行动态调整 and 选择，系统也能够保持数据的安全性和正确性。这得益于验证密钥的存在，以及对解密过程的严格验证，从而防止了潜在的攻击。



03

实 验 结 果

TABLE 2: Computational Complexity Comparison

	Setup	KeyGen	TKGen	Enc	Transform	Dec
Wat11 [42]	$\mathcal{O}(U)$	$\mathcal{O}(S)$	N/A	$\mathcal{O}(\Lambda)$	N/A	$\mathcal{O}(S)$
GHW11 [21]	$\mathcal{O}(1)$	$\mathcal{O}(S)$	$\mathcal{O}(S)$	$\mathcal{O}(\Lambda)$	$\mathcal{O}(S)$	$\mathcal{O}(1)$
RW13 [35]	$\mathcal{O}(1)$	$\mathcal{O}(S)$	N/A	$\mathcal{O}(\Lambda)$	N/A	$\mathcal{O}(S)$
LDGW13 [23]	$\mathcal{O}(U)$	$\mathcal{O}(S)$	$\mathcal{O}(S)$	$\mathcal{O}(\Lambda)$	$\mathcal{O}(S)$	$\mathcal{O}(1)$
QDLL15 [33]	$\mathcal{O}(T)$	$\mathcal{O}(1)$	$\mathcal{O}(\log N)$	$\mathcal{O}(1)$	$\mathcal{O}(1)$	$\mathcal{O}(1)$
QDLM15 [34]	$\mathcal{O}(U)$	$\mathcal{O}(1)$	$\mathcal{O}(S)$	$\mathcal{O}(\Lambda)$	$\mathcal{O}(S)$	$\mathcal{O}(1)$
CDLQ16 [14]	$\mathcal{O}(1)$	$\mathcal{O}(1)$	$\mathcal{O}(S \cdot \log N)$	$\mathcal{O}(\Lambda)$	$\mathcal{O}(S)$	$\mathcal{O}(1)$
AC17 [2]	$\mathcal{O}(1)$	$\mathcal{O}(S)$	N/A	$\mathcal{O}(\Lambda)$	N/A	$\mathcal{O}(S)$
NCD+18 [29]	$\mathcal{O}(1)$	$\mathcal{O}(1)$	$\mathcal{O}(S)$	$\mathcal{O}(\Lambda)$	$\mathcal{O}(S)$	$\mathcal{O}(1)$
LWZH20 [26]	$\mathcal{O}(U)$	$\mathcal{O}(S)$	$\mathcal{O}(S)$	$\mathcal{O}(\Lambda)$	$\mathcal{O}(S)$	$\mathcal{O}(1)$
XNH+21 [44]	$\mathcal{O}(T)$	$\mathcal{O}(1)$	$\mathcal{O}(S_{rec} \cdot \log N)$	$\mathcal{O}(S_{snd} + \Lambda_{rec})$	$\mathcal{O}(S_{rec})$	$\mathcal{O}(1)$
XNM+21 [45]	$\mathcal{O}(1)$	$\mathcal{O}(1)$	$\mathcal{O}(S_{rec})$	$\mathcal{O}(S_{snd} + \Lambda_{rec})$	$\mathcal{O}(S_{rec})$	$\mathcal{O}(1)$
XLD+22 [43]	$\mathcal{O}(1)$	$\mathcal{O}(S_{rec})$	N/A	$\mathcal{O}(S_{snd} + \Lambda_{rec})$	N/A	$\mathcal{O}(S_{rec})$
Our SA-ABE	$\mathcal{O}(1)$	$\mathcal{O}(1)$	$\mathcal{O}(S)$	$\mathcal{O}(\Lambda)$	$\mathcal{O}(S)$	$\mathcal{O}(1)$
Our VO-ABE	$\mathcal{O}(1)$	$\mathcal{O}(1)$	$\mathcal{O}(S)$	$\mathcal{O}(\Lambda)$	$\mathcal{O}(S)$	$\mathcal{O}(1)$

U : the capacity of the attribute universe;
 S : the capacity of the attribute set;
 N : the maximum number of system users;
 S_{rec} : S of the data user;
 Λ_{rec} : Λ of the data user;
 Λ : the length of the access policy;
 T : the space of the identifier;
 T : the system bounded lifetime;
 S_{snd} : S of the data owner;

TABLE 3: Space Complexity Comparison

	System Parameter	Secret Key	Transformation Key	Ciphertext	Transformed Ciphertext
Wat11 [42]	$\mathcal{O}(U)$	$\mathcal{O}(S)$	N/A	$\mathcal{O}(\Lambda)$	N/A
GHW11 [21]	$\mathcal{O}(1)$	$\mathcal{O}(S)$	$\mathcal{O}(S)$	$\mathcal{O}(\Lambda)$	$\mathcal{O}(1)$
RW13 [35]	$\mathcal{O}(1)$	$\mathcal{O}(S)$	N/A	$\mathcal{O}(\Lambda)$	N/A
LDGW13 [23]	$\mathcal{O}(U)$	$\mathcal{O}(S)$	$\mathcal{O}(S)$	$\mathcal{O}(\Lambda)$	$\mathcal{O}(1)$
QDLL15 [33]	$\mathcal{O}(T)$	$\mathcal{O}(1)$	$\mathcal{O}(\log N)$	$\mathcal{O}(1)$	$\mathcal{O}(1)$
QDLM15 [34]	$\mathcal{O}(U)$	$\mathcal{O}(1)$	$\mathcal{O}(S)$	$\mathcal{O}(\Lambda)$	$\mathcal{O}(1)$
CDLQ16 [14]	$\mathcal{O}(1)$	$\mathcal{O}(1)$	$\mathcal{O}(S \cdot \log N)$	$\mathcal{O}(\Lambda)$	$\mathcal{O}(1)$
AC17 [2]	$\mathcal{O}(1)$	$\mathcal{O}(S)$	N/A	$\mathcal{O}(\Lambda)$	N/A
NCD+18 [29]	$\mathcal{O}(1)$	$\mathcal{O}(1)$	$\mathcal{O}(S)$	$\mathcal{O}(\Lambda)$	$\mathcal{O}(1)$
LWZH20 [26]	$\mathcal{O}(U)$	$\mathcal{O}(S)$	$\mathcal{O}(S)$	$\mathcal{O}(\Lambda)$	$\mathcal{O}(1)$
XNH+21 [44]	$\mathcal{O}(T)$	$\mathcal{O}(1)$	$\mathcal{O}(S_{rec} \cdot \log N)$	$\mathcal{O}(S_{snd} + \Lambda_{rec})$	$\mathcal{O}(1)$
XNM+21 [45]	$\mathcal{O}(1)$	$\mathcal{O}(1)$	$\mathcal{O}(S_{rec})$	$\mathcal{O}(S_{snd} + \Lambda_{rec})$	$\mathcal{O}(1)$
XLD+22 [43]	$\mathcal{O}(1)$	$\mathcal{O}(S_{rec})$	N/A	$\mathcal{O}(S_{snd} + \Lambda_{rec})$	N/A
Our SA-ABE	$\mathcal{O}(1)$	$\mathcal{O}(1)$	$\mathcal{O}(S)$	$\mathcal{O}(\Lambda)$	$\mathcal{O}(1)$
Our VO-ABE	$\mathcal{O}(1)$	$\mathcal{O}(1)$	$\mathcal{O}(S)$	$\mathcal{O}(\Lambda)$	$\mathcal{O}(1)$

对于计算复杂度，我们的VO-ABE方案享有与最先进的SA-ABE相当的结果，并且与最先进的VO-ABE相比具有上级性能。

空间复杂度的结果与计算复杂度的性能相似，其中我们的解决方案具有与最先进的SA-ABE相当的性能，并且具有优于最先进的VO-ABE的性能。

- 我们的解决方案可以与所有现有的SA-ABE和VO-ABE相媲美。然而，所有现有的SA-ABE和VO-ABE解决方案都是选择性安全的，并且选择性安全的解决方案通常比自适应安全的解决方案更快
- 为了展示可验证外包解密的优势，并公平地评估我们与现有最先进解决方案相比的代价，我们在下一节中给出了自适应安全ABE和我们之间的实验分析。

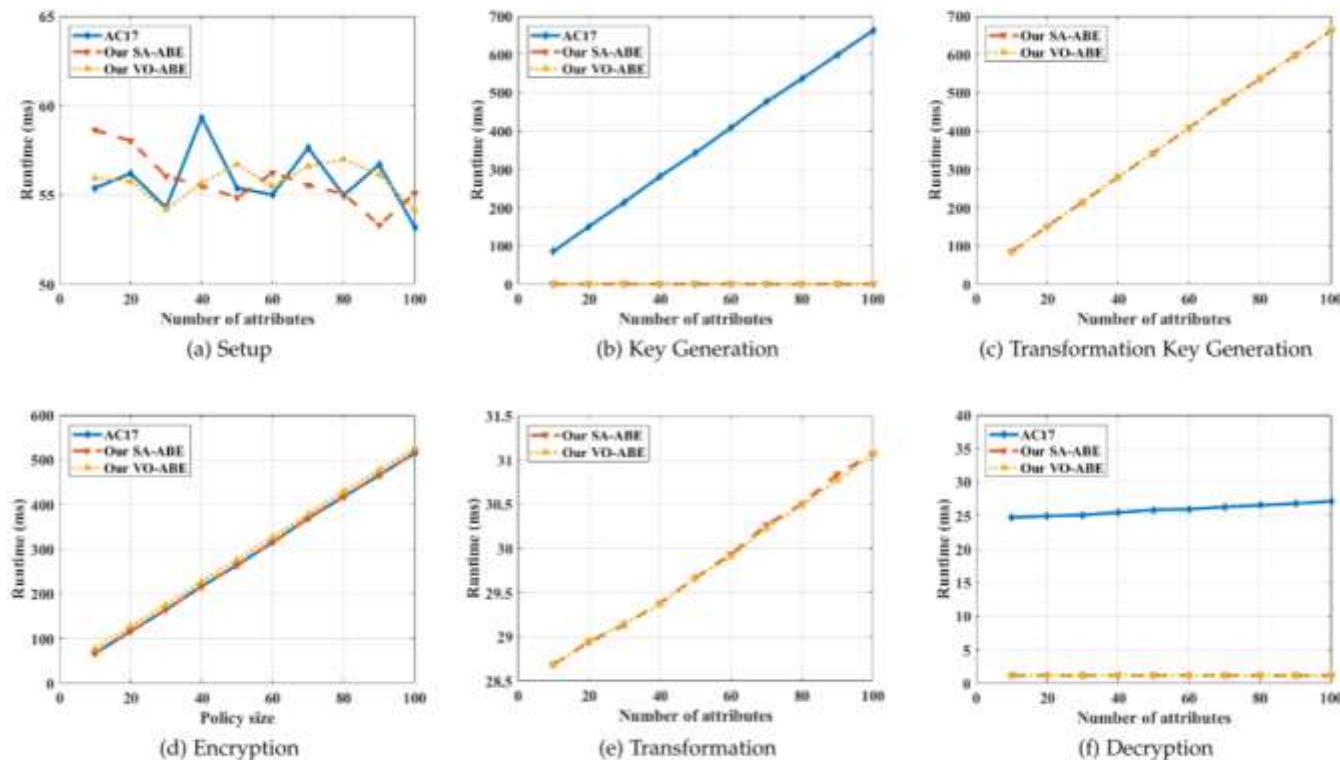


Fig. 6: Experimental Performance of AC17 and Ours

我们的解决方案在设置和加密方面可以与最先进的ABE(AC17)相媲美，并且解密速度更快。因此，我们的解决方案比最先进的解决方案更实用，适用于资源受限的终端设备的数据共享系统。

为了模拟资源受限的设备

- 实验模拟（数据解密除外）在PC端实现
- 数据解密在Android设备上进行（在现实世界的场景中，很多情况下数据的加密和解密需要在移动设备上进行，比如在移动应用程序中对加密数据进行解密）
- 每种情况下，已经测试了100次，我们计算的平均值作为实验数据的结果。



04

总 结



成果：这篇论文探讨了数据共享系统的实际应用和安全性问题，并提出了一种适应资源受限终端设备的自适应安全数据共享系统。

- 我们开发了一种可扩展的密钥分发模型，无需安全通道即可完成密钥分发，简化了密钥分发过程，减少了不同实体之间建立安全通信渠道所需的开销，同时做到了自适应安全，精细化的数据共享。
- 我们提出的解决方案适用于各种基于云的应用程序，提供了更好的数据访问控制、轻量级解密和适应性安全保障。

思考：现阶段只实现私有可验证性，是否能够实现公开可验证性（有助于提高系统的安全性和信任度）

可以考虑采用数字签名（使用私钥对数据进行签名后，任何人都可以使用公钥来验证数据的真实性）零知识证明（允许证明者向验证者证明某个陈述的真实性，同时不透露除了陈述为真之外的任何其他信息）

恳请各位老师批评指正！